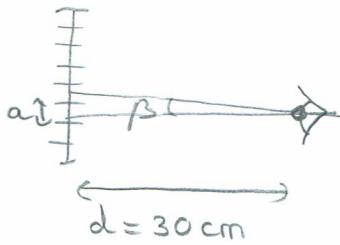


II - Etude des pixels de l'écran d'un smart phone

(5)

11)



L'œil peut discerner deux pixels si l'angle β est supérieur au pouvoir de résolution de l'œil: $\alpha = 3 \cdot 10^{-4}$ rad.

$$\text{Or } \tan \beta \approx \beta = \frac{a}{d}$$

$$\text{Il faut donc } \frac{a}{d} > \alpha$$

$$\text{soit } a > \alpha d = 3 \cdot 10^{-4} \times 30 \cdot 10^{-2}$$

$$\boxed{a > 90 \mu\text{m}}$$

Sur le capteur étudié: $a = 17 \mu\text{m} \Rightarrow$ on ne peut pas discerner 2 pixels à l'œil nu.

12) * Je mesure $13a' = 12 \text{ mm}$ donc $a = \frac{12 \cdot 10^{-3}}{13 \times 10} = 92 \mu\text{m}$ semble élevé

* La mesure est effectuée avec une règle graduée au mm.

$$u(13 \times 10 a) = \frac{1 \text{ mm}}{\sqrt{3}}$$

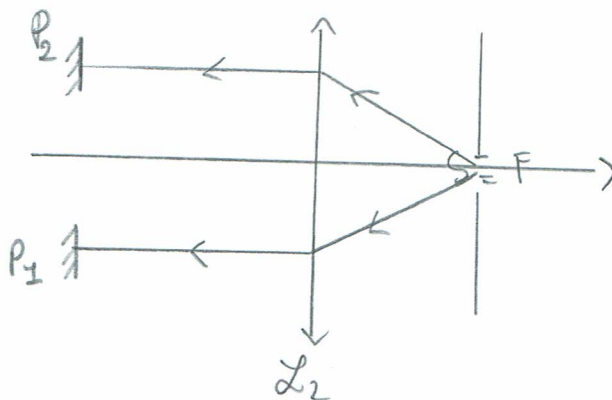
$$u(a) = \frac{10^{-3}}{130\sqrt{3}} = 4 \mu\text{m}$$

* Rm: * L'Iphone X possède 458 pixels par pouce (1 pouce = 2,54 cm)

$$\text{donc } a = \frac{2,54 \cdot 10^{-2}}{458} \approx 55 \mu\text{m}$$

* L'Iphone 6 possède 326 ppp soit $a \approx 78 \mu\text{m}$

13) Il faut que S soit au foyer objet de la lentille L_2 .



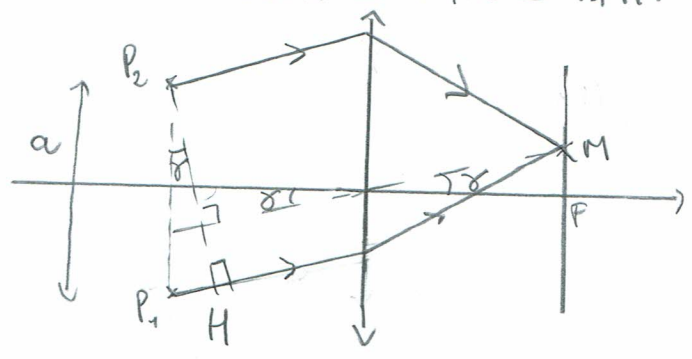
Après réflexion sur les miroirs, on observe des interférences dans le plan focal image de la lentille L_2 .

Les rayons qui interfèrent en M sont donc issus de rayons semblant venir de l'infini donc ils sont parallèles entre eux avant de (re)traverser la lentille.

14) Les chemins optiques (SP_1) et (SP_2) sont identiques donc $S(M) = (P_1M) - (P_2M)$

D'après le principe de retour inverse de la lumière et le théorème de Malus : $(MH) = (MP_2)$ car les rayons issus d'un point M du plan focal objet convergent à e'_{∞} et les surfaces équiphasées sont perpendiculaires aux rayons.

On obtient donc $S(M) = (P_1H) = P_1H$.



$$\sin \gamma = \frac{P_1H}{a}$$

$$\tan \gamma = \frac{y}{f'_2}$$

Dans les conditions de Gauss $\sin \gamma \approx \gamma$ et $\tan \gamma \approx \gamma$

$$d'où \left| P_1H = \frac{ay}{f'_2} = S(M) \right.$$

15) $p(M) = \frac{S(M)}{\lambda} = \frac{ay}{\lambda f'_2}$

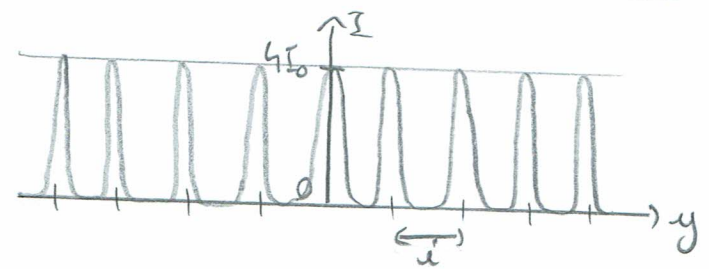
On observe des franges rectilignes $y = \text{constante}$

Entre deux franges brillantes consécutives : $\Delta p = 1$ et $\Delta y = i$

donc $1 = \frac{ai}{\lambda f'_2}$ soit $i = \frac{\lambda f'_2}{a}$

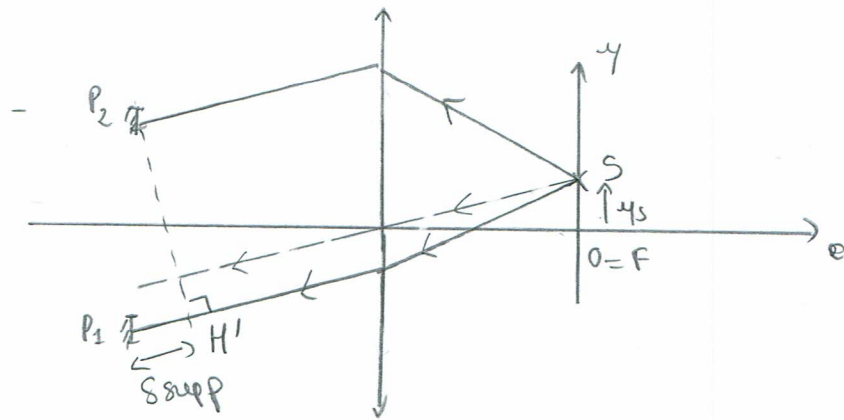
16) D'après la formule de Fresnel : $I(y) = 2I_0 \left(1 + \cos \frac{2\pi S(M)}{\lambda} \right)$

soit $I(y) = 2I_0 \left(1 + \cos \frac{2\pi ay}{\lambda f'_2} \right)$



17) Le décalage de S sur l'axe Oz de $\Delta z = z_s$ laisse les chemins optiques (SP_1) et (SP_2) identiques \Rightarrow Pas d'impact sur $S(M)$ donc sur la figure d'interférences

Si on s'intéresse maintenant à un décalage $\Delta y = y_s$ de la source sur l'axe Oy, une différence de marche supplémentaire est introduite: $\delta_{supp} (= (SP_1) - (SP_2))$



$(SH') = (SP_2)$ donc $\delta_{supp} = P_1 H' = \frac{ay_s}{f/2}$ indépendant du point de l'écran où on observe les interférences.

On a donc finalement $\delta'(M) = \frac{ay}{f/2} + \frac{ay_s}{f/2}$

On observe encore des franges rectilignes $y = \text{cte}$ avec la même interférence mais elles sont décalées en bloc. La frange $p'(M) = 0$ correspond à $\delta'(M) = 0$ donc à $y = -y_s$. Les franges sont donc décalées dans le sens des y décroissants.

18) On considère qu'il y a une bonne cohérence au point M tant que $|p'(M) - p(M)| \ll \frac{1}{2}$ cad tant que les franges correspondant à une source en $y_s = 0$ et à une source en $y_s = \frac{c}{2}$ ne sont pas trop décalées au point M considéré.

Cela correspond donc à $\frac{ac}{\lambda f/2} \ll \frac{1}{2}$ soit $c \ll \frac{\lambda f/2}{a} = c_{max}$

AN $c_{max} = \frac{45,5 \cdot 10^{-2} \times 589 \cdot 10^{-9}}{400 \cdot 10^{-6}} = \underline{670 \mu m}$

\Rightarrow largeur de fente mécanique, tout à fait en usageable en TP

19) def $I_{tot}(y, c, K)$

$I_{tot} = 0$

For m in range (K)

$y_s = -c/2 + mxc/(K-1)$

$I_{tot} = I_{tot} + \text{intensité}(y, y_s)$

Return I_{tot}

20) def contraste(I)

$$I_{max} = n p \cdot \max(I)$$

$$I_{min} = n p \cdot \min(I)$$

$$C = (I_{max} - I_{min}) / (I_{max} + I_{min})$$

Return C

21) * Lorsque les sources sont pratiquement confondues, les figures d'interférences relatives à chacune des sources se superposent sur l'écran = les franges brillantes correspondant à chacune des sources coïncident, même chose pour les franges sombres.

les franges sombres sont donc très sombres et les franges brillantes très lumineuses: le contraste est maximal.

* Lorsque l'on écarte les sources, les figures d'interférences se décalent les unes par rapport aux autres et on n'observe plus de zones noires. Il y a de la lumière un peu partout. Le contraste diminue de plus en plus jusqu'à ce que

* l'intensité soit identique en tout point de l'écran. On a alors $C = C_{max}$ et un contraste nul.

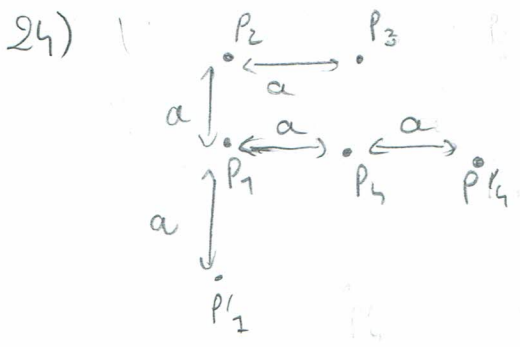
* Si l'on écarte encore les sources alors les sources extrêmes vont produire une figure d'interférences qui se superpose à peu près à la source centrale et on retrouve un peu de contraste sur un fond brouillé dû à toutes les autres sources réparties entre $-\frac{C_{max}}{2}$ et $+\frac{C_{max}}{2}$.

22) $\frac{D_{laser}}{d_{laser}} = \frac{f'_2}{f'_1}$ donc $D_{laser} = \frac{f'_2}{f'_1} d_{laser}$

23) $\delta_{2,1}(M) = \frac{ay}{f'_2}$
 $\delta_{4,1}(M) = \frac{az}{f'_2}$
 $\delta_{4,1}(M) = \frac{a}{f'_2} (y+z)$

Toutes les ondes sont en phase si $\frac{ay}{f'_2} = k\lambda, k \in \mathbb{Z}$
et $\frac{az}{f'_2} = m\lambda, m \in \mathbb{Z}$

=> réseau de points carré.



$\delta_{1/2}(M) = \delta_{1/1}(M)$
 $\delta_{4/1}(M) = \delta_{4/4}(M)$
 \Rightarrow Les figures d'interférences se superposent exactement.
 \Rightarrow Les maxima obtenus pour 4 pixels ou pour N pixels sont les mêmes.

$\Delta(M) = N \lambda_0$ puisque toutes les ondes sont en phase.
 On a donc $I(M) = N^2 I_0$ car $I = K |\Delta|^2$

25) L'éclairement moyen est obtenu lorsque il y a brouillage donc lorsque $I(M) = N I_0$: les intensités s'additionnent.
 D'où $\frac{I_{max}}{I_{moy}} = N$

\Rightarrow Le contraste de la figure d'interférences est meilleur si le nombre de pixel augmente.

26) * On mesure $i = \frac{\lambda f/2}{a}$ d'où $a = \frac{\lambda f/2}{i}$

Diamètre du trou sur la feuille : 0,8 cm.
 Si mesurés sur la feuille : 3,8 cm. } $i = \frac{3,8}{6} \times \frac{4}{8}$
 $i = 3,2 \text{ mm.}$

et $u(i) = \frac{1 \text{ mm}}{6} = 0,1 \text{ mm.}$

d'où $a = \frac{532 \cdot 10^{-9} \times 45,5 \cdot 10^{-2}}{3,2 \cdot 10^{-3}} = 75,6 \mu\text{m}$

et $\left(\frac{u(a)}{a}\right)^2 = \left(\frac{u(\lambda)}{\lambda}\right)^2 + \left(\frac{u(f/2)}{f/2}\right)^2 + \left(\frac{u(i)}{i}\right)^2$

On obtient $a = 75,6 \mu\text{m}; u(a) = 2,8 \mu\text{m.}$

* Ecart normalisé entre les résultats des qo 12) et 26):

$E_N = \frac{|92 - 75,6|}{\sqrt{4^2 + 2,8^2}} = 3,4 > 2$ Les 2 résultats ne sont pas compatibles.